

# ANKASTRE MESNETLERİ PERDELİ SİSTEMLERİN ÇÖZÜMÜ İÇİN BİR ÖNERİ

Sinan YELKEN (\*)

Deprem bölgelerindeki yüksek yapılarda, taşıyıcı sistemi alışılmış çerçeveye sistemler yerine, perde duvarlı çerçeveye sistem olarak düzenlemek hem güvenlik açısından hem de ekonomik yönden daha uygun olmaktadır.

Cünkü :

a) Perdeler kesme kuvvetlerinin önemli bir kısmını (bilhassa yapının en çok zorlandığı alt katlarda) yüklenir ve emniyetle temele aktarabilirler.

b) Deplasmanların aşırı boyutlara varmasını önlüyor, genellikle orta şiddetteki depremlerin neden olduğu duvar çatlaması, cam kırılması sivaların dökülmesi ve diğer münare hasarla eşya tahribatını kontrol altına alabilirler.

c) Alt katlarda kolon ve kiriş boyutlarının aşırı büyütüneni önlemek faydalı kullanma hacmi artırlabilir.

d) Kolon donatısından yapılan tasarruf ile, kaba inşaat- a ortalama % 30 civarında ucuzlama sağlanabilir.

Perdeli sistemlerin çözümü için verilen yöntemlerin bir bölümü lineer denklem takımlarının oluşturulması ve çözümü ile sonuca varmaktadır. Yapıda kat adedi arttıkça şıllanmeyenlerin sayısı da arttığı için çözüm zorlaşmaktadır. Bazı yöntemlerde de ardışık yaklaşımalar sonuca ulaşmaktadır. Sistemden gelen veriler yeterli yakınsama hızı sağlanamıyorsa, bu yöntemlerle de sonuç alabilemek için uzun zaman harcamak gerekmektedir.

Çerçeve kat rıjiliklerinin sabit olduğu hallerde sonuçları kesin çözüm sonuçları ile pratikte çıkışan, çerçeve kat rıjiliklerinin yapı yüksekliğince az değiştiği hallerde de yaklaşık çözüm veren bir yöntem geliştirilmiş ve "Deprem Araştırma Enstitüsü Bülteni, Sayı 34, Temmuz-1981" de yayınlanmıştır. Bu yöntemle,

1- Bağ kıraklı perde - çerçeve sistemler,

2- Kırıksız dösemeler,

3- Boşluklu perdelerden oluşan sistemler,  
veya üstte sayılanların bir araya gelmesiyle oluşturulan combine sistemler, perde temeli dönme etkisi de dikkate alınmak suretiyle yaklaşık olarak ve kolaylıkla çözülebilir.

Bu yazında, problemin kuramsal çözümü incelenmeyecektir. Pratikte sık rastlanan bir özel durum olan perde tenehelinin ankastre olması halinde, üstte sayılan sistemlerin ıesap yapmaksızın çözümü için hazırlanan 3 tablo verilecek, kullanılışları açıklanacak ve iki yapının incelenmesi ile yetinilecektir.

Şu noktayı da önemle belirtmek gerekir ki, perde tenehelinin dönmesi önlenmiş ise, mesnetlenme şekli ankastre kabul edilebilir. Aksi halde temel dönmesinin dikkate alınması zorunludur.

Tablolar tek bir parametreye ( $\beta$ ) bağlı olarak,

a- Perde ortalama momentlerini ( $M_x$ )

b- Bağ kıraklı momentlerini ( $\bar{M}_x$ )

c- Yapı yanal deplasmanlarını ( $v$ )

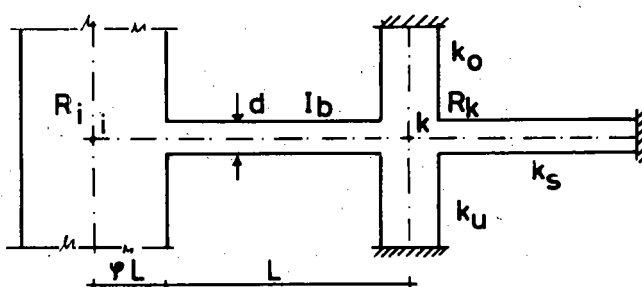
doğrudan doğruya bulmaya yarıyacak faktörleri verirler. Ancak  $\beta$ 'nın hesaplanabilmesi için önceden,

- Çerçeve kolon rıjilikleri, (Muto yöntemindeki D değerleri)

- Bağ kıraklı redörleri bulunmalıdır.

Hesapların aşağıdaki sırayla yapılması uygun olmaktadır:

1- Sistemde bağ kıraklıları varsa, perdeyi çerçeveeye bağlayan kıraklılar (1), iki perdeyi birbirine bağlayan kıraklılar ise (2) bağıntıları kullanılarak bağ kıraklı redörleri bulunur. Şekil (1) ve şekil (2). Bu bağıntılar elde edilirken kesme kuvvetinin deformasyona etkisi de dikkate alınmıştır.

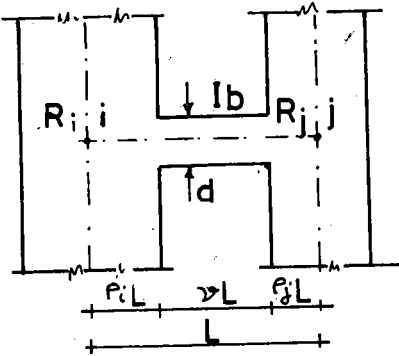


$$m = 6\varphi^2 + 6\varphi + 2 \quad n = 1,4 \left( \frac{d}{L} \right)^2 \frac{1 + \varphi}{\varphi}$$
$$p = 1 + 1,4 \left( \frac{d}{L} \right)^2 \frac{1 + 3\varphi}{\varphi} \quad r = 1 + 3\varphi \quad (1)$$

$$R_k = \frac{4E I_b}{L} \left( \frac{2+n}{2p} \right) \quad \varepsilon = \frac{R_k}{(k_O + k_U + k_S)0,85}$$

$$R_i = \frac{2E I_b}{L p} \left[ m + n\varphi - \frac{\varepsilon(r+n)^2}{(1+\varepsilon)(2+n)} \right]$$

Sekil 1 -



$$R_i = \frac{12EI' b}{L} \frac{1}{\vartheta^3} \left( \frac{\vartheta}{2} + p_i \right) \quad (2)$$

$$R_j = \frac{12EI' b}{L} \frac{1}{\vartheta^3} \left( \frac{\vartheta}{2} + p_j \right)$$

$$I' b = \frac{Ib}{1 + 2.8 \left( \frac{d}{\vartheta L} \right)^2}$$

Sekil 2

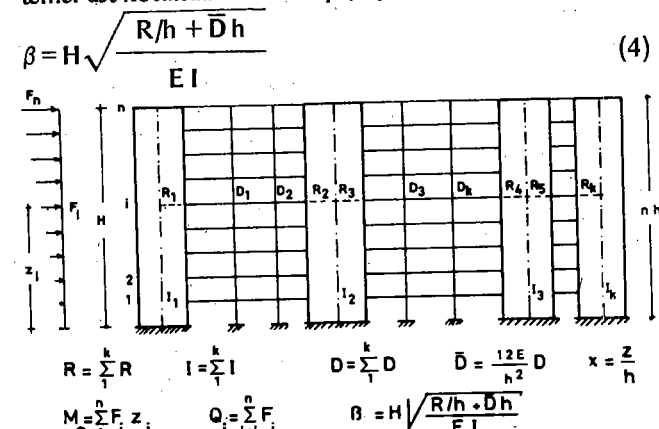
2- Yapıda her kattaki kolonların K. Muto yöntemi ile D sayıları bulunur. Zaten çerçeve hesabı için bu değerler gereklidir. Bulunan kolon D sayıları her kat için toplanarak çerçeve sistemi rijitliği elde edilir. Hesaplarda D sayılarını kuvvet/uzunluk boyutuyla kullanacağımız için (3) yardımımız ile bu dönüşümü yapabiliyoruz.

$$\bar{D} = \frac{12E}{h^2} D \quad (3)$$

3- Perde atalet momentleri hesaplanarak toplamları bulunur. Bu toplamı I ile gösteriyoruz.

4- Yapıya etkiyen deprem yüklerinin yapı temel üst kütüne göre momenti ( $M_o$ ) ve yapı kat kesme kuvvetleri ( $Q_i$ ) bulunur.

5- Yapıya ait sistem parametresi (4) den hesaplanır. H temel üst kütundan itibaren yapı yüksekliğidir. Sekil (3)



Sekil 3 -

6-a. Tablo I den toplam perde ortalama momentlerini,

$$M_x = -M_o x m \quad (5)$$

6-b. Tablo II den toplam kat bağ kirişi momentlerini,

$$\bar{M}_x = M_o \frac{RH}{EI} \bar{m} \quad (6)$$

6-c. Tablo III den yapı yanal deplasmanlarını,

$$v = M_o \frac{H^2}{EI} \frac{\bar{v}}{1000} \quad (7)$$

formüllerini kullanarak bulabiliriz.

İlgili faktörleri tablolardan alırken ara değerler için interpolasyon yapılmalıdır. Çerçeve kolonları yapı yüksekliğince boyut değiştiriyorsa  $\bar{D}$  ve R ler, her kat için hesaplanacak değerlerin ortalaması alınarak bulunabilir. Yapıda farklı kat yüksekliği varsa, h için de ortalama yükseklik alınmalıdır.

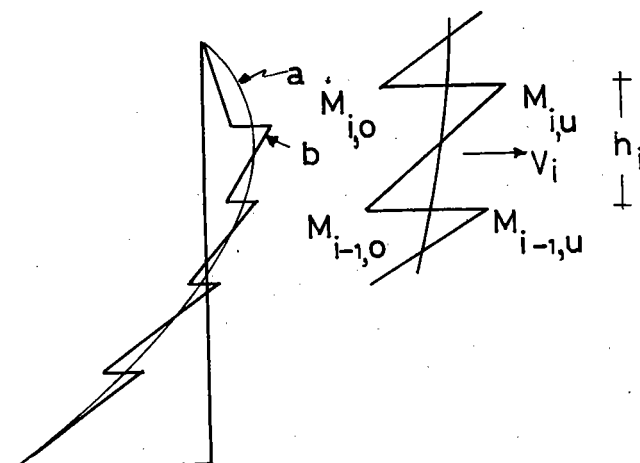
7- (5) Bağıntısı ile bulunan perde ortalama momentleri, yapıdaki perdelerin hepsine aittir. Her perdenin alacağı moment, toplam momenti perdelere atalet momentleri ile orantılı olarak dağıtarak bulunur.

8- (6) Bağıntısının verdiği bağ kirişi momentleri de o kattaki bütün bağ kirişlerine aittir. Bu moment, o kattaki bağ kirişlerine, bağ kirişi redörleri ile orantılı olarak dağıtılarak, her bağ kirişine gelen moment hesaplanır.

9- Yukarıdaki işlemlerden sonra her perdenin moment diyagramı çizilebilir. Sekil (4)'de görülen a diyagramı "k" numaralı perdenin ortalama moment diyagramı olsun. Bağ kirişi momentleri etkisi ile a diyagramı b diyagramına dönüşür. Moment düzeltmesi

$$M_{i,o} = M_{i,x} - \frac{\bar{M}_{i,x}}{2} \quad M_{i,u} = M_{i,x} + \frac{\bar{M}_{i,x}}{2} \quad (8)$$

bağıntıları ile yapılır.



Sekil 4 -



Çerçevekere Muto yöntemi uygulanarak  $D = 4,19 \text{ dm}^3$  bulunmuştur. Perdeye birleşen kırıslar redör olarak  $R_k$  değeri kullanılmıştır. (3) Bağıntısı ile D değeri,  $\bar{D}$  (kuvvet/uzunluk) boyutuna dönüştürülmüştür.

$$\bar{D} = \frac{12E}{h^2} \quad D = 5,5866 \times 10^{-3} E \text{ t/m}$$

### c) Sistem Parametresi :

Yapı sistem parametresi (4) bağıntısından bulunur.

$$\beta = H \sqrt{\frac{R/h + \bar{D} h}{EI}} = 1,742$$

Hesaplar Tablo 1 de yapılmıştır.

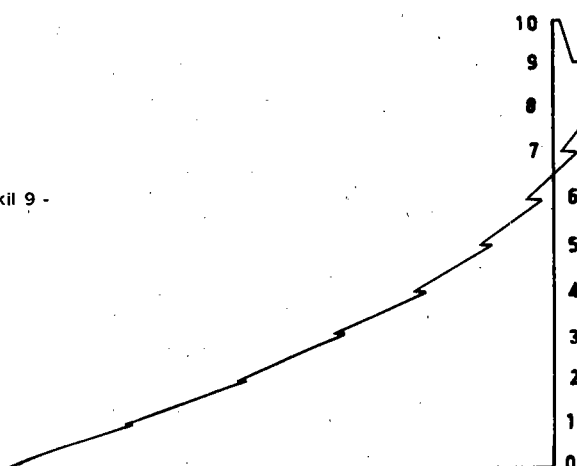
Tablo 1 -

1	2	3	4	5	6	7	8	9	10	11	12	13
KAT	V	1000 m	1000 m	v (mm)	$M_x$ (m)	$M_{x/2}$	$M_{Lx}$	$M_{Lu}$	$V_{(1)}$	$M_{(1)}$	$M_{(1)}$	
10	129,42	0	153,23	23,47	0	24,33	12,17	0	12,17	-7,96	27,27	43,19
9	114,03	-30,70	155,00	20,58	4,835	24,61	12,31	360,4	60,66	5,86	51,82	40,10
8	94,37	-35,32	158,51	17,84	55,63	25,17	12,59	430,4	68,22	1,606	73,64	37,52
7	82,36	-11,06	161,30	14,94	26,87	25,61	12,81	140,3	39,68	2,693	92,73	35,07
6	66,19	21,59	161,24	12,00	-34,00	25,60	12,80	-46,80	-21,20	3,843	109,09	32,23
5	50,27	7,077	156,37	9,12	-12,406	24,83	12,42	-136,68	-11,164	4,838	12,273	25,97
4	35,14	153,19	144,91	6,37	-241,28	23,01	15,51	-256,79	-22,577	56,21	133,64	21,22
3	21,53	24,409	125,18	3,90	-38,445	19,88	9,94	-39,439	-37,451	62,10	141,82	17,62
2	10,44	3,5123	95,95	1,89	-55,319	15,24	7,62	-56,081	-5,457	6,890	147,27	9,47
1	2,83	47,488	5439	0,51	-7,4794	8,64	4,32	-75,226	-7,4362	75,44	150,00	-0,88
0	0	615,82	0	0	-96393	0	0	-96393	0	0	0	0

Tablo I, II ve III den interpolasyonla bulunan 1000m, 1000m ve v değerleri tablo 1 in 2, 3 ve 4 numaralı kolonlara yazılmıştır. (7), (5) ve (6) bağıntıları ile hesaplanan v (mm) deplasman,  $M_x$  ortalama perde momenti ve  $\bar{M}_x$  perde bağı kırıcı değerleri de tablonun 5, 6 ve 7, kolonlarında rindadır.

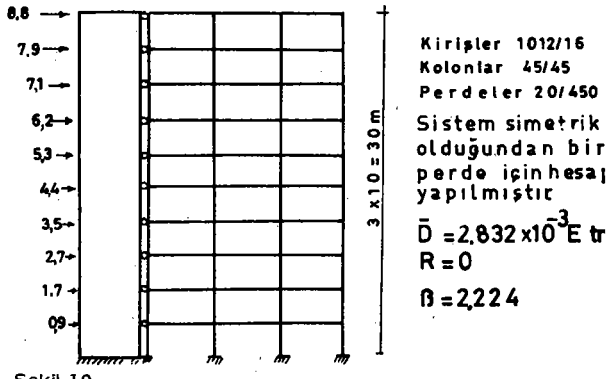
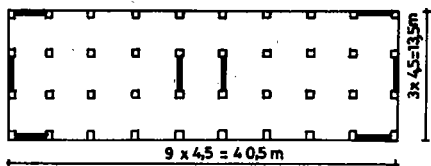
Sistem simetrik olduğu için I adet perdenin statik etkileri (5) ve (6) bağıntılarında  $M_0$  yerine  $M_0/2$  alınarak hesaplanmıştır. Yine I perde için (8) bağıntılarıyla, 9 ve 10. kolonlar elde edilmiş ve (9) numaralı formülinden bulunan perde kat kesme kuvvetleri, yapı toplam kat kesme kuvvetinden çıkarılarak 13 numaralı kolonda bulunan çerçeve kat kesme kuvvetleri bulunmuştur. Perdeye ilişkin değerler bulunduğuundan, hesaplamaya son verilmiştir. 13. kolondaki çerçeve kat kesme kuvvetleri Muto yöntemiyle kolonlara dağıtılarak, çerçeve analizi de kolaylıkla yapılabilir. Bir adet perdeye ait moment diyagramı şekil 9 dadır.

Şekil 9 -

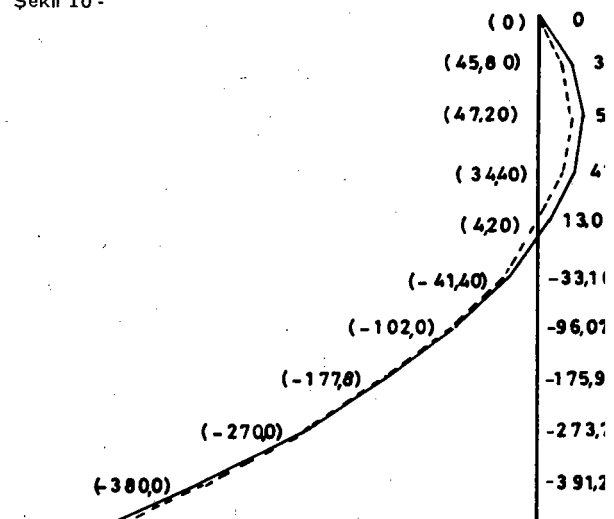


### ÖRNEK II :

Plan, enkesit ve yükleri şekil 10'da görülen yapınin zümü verilen tablolarla yapılmıştır. Şekil 11 de I adet perdeye ait ortalama moment diyagramı görülmektedir. Kirişli diyagram ve parantez içindeki moment değerler Sn. Prof. Dr. Semih Tezcan tarafından 'Teknik Bülten Sayı 8 İ.M.O, 1971 Aralık' ta verilen kesin sonuçlara ait



Şekil 10 -



Şekil 11 -

10. Katta bu yöntemle hesaplanan deplasman  $v = 27,8 \text{ mm}$ . (Kesin sonuç :  $v = 28 \text{ mm}$ )

Önerilen yöntemin bu örnekte ortalama hatası % mertebesindedir. Çeşitli örneklerle yapılan karşılaştırılar da aynı sonucu vermiştir.

Sonuç : Ankastre mesnetli perdeleri içeren her türlü yapıların yanal yüklerle göre analizi için basit bir yöntem önerilmiştir. Perdeli sistemlerin hesabı verilen tablolardan yardımı ile, uzun işlemlere gerek kalmaksızın yapılabilir. Sonuçların yaklaşılığı pratikte yeterlidir.

$\beta$	X										
0	0.1	0.2	0.3	0.4	0.5	0.6	0.7	0.8	0.9	1.0	
0.5	937,38	788,98	645,56	509,76	384,23	271,67	174,79	99,58	39,16	6,04	0
1.0	801,77	656,03	519,86	394,90	282,90	185,74	105,45	44,24	4,48	-11,12	0
1.5	667,37	524,83	397,12	284,38	187,07	105,99	42,33	-2,33	-26,01	-26,24	0
2.0	560,86	421,62	302,30	201,14	117,08	49,75	-0,52	-32,77	-45,24	-35,45	0
2.5	480,81	344,85	233,57	143,00	70,45	14,40	-25,67	-49,27	-54,85	-39,75	0
3.0	420,08	287,36	183,73	102,80	40,23	-6,53	-38,81	-56,47	-58,09	-40,80	0
3.5	372,72	243,21	146,82	74,67	2,085	-18,27	-44,49	-58,04	-57,55	-39,94	0
4.0	334,77	208,88	118,82	54,61	8,38	-24,34	-45,80	-56,45	-54,97	-38,08	0
4.5	303,63	180,28	97,12	40,05	0,39	-26,98	-44,66	-53,23	-51,40	-35,75	0
5.0	277,59	157,20	79,99	29,33	-4,65	-27,58	-42,23	-49,28	-47,47	-33,21	0
6.0	236,52	121,73	55,19	15,30	-9,63	-25,78	-36,04	-41,11	-39,80	-28,52	0
7.0	205,65	96,09	38,68	7,26	-11,07	-2,56	-29,94	-33,85	-33,17	-24,41	0
8.0	181,67	76,97	27,38	2,59	-10,96	-19,25	-24,72	-27,89	-27,75	-21,02	0
9.0	162,56	62,40	19,49	-0,11	-10,21	-16,30	-20,48	-23,14	-23,39	-18,23	0
10.0	147,00	51,08	13,90	-1,65	-9,24	-13,81	-17,09	-19,37	-19,89	-15,95	0
15.0	99,11	20,78	2,27	-2,90	-5,09	-6,60	-7,95	-9,18	-10,00	-9,02	0
20.0	74,62	9,35	-1,33	-2,07	-2,97	-3,75	-4,50	-5,23	-5,86	-5,73	0
50.0	299,7	0,08	-0,23	-0,36	-0,47	-0,60	-0,72	-0,84	-0,96	-1,08	0

TABLO I 1000 m Değerleri

$$M_x = -M_0 m$$

$\beta$	X										
0	0.1	0.2	0.3	0.4	0.5	0.6	0.7	0.8	0.9	1.0	
0.5	0	86,29	157,97	215,64	248,24	292,93	315,09	328,49	335,08	337,07	337,21
1.0	0	72,82	131,52	177,16	210,94	234,24	248,65	255,96	228,21	257,66	256,86
1.5	0	59,49	105,46	139,41	162,85	177,36	184,63	186,46	184,86	182,04	180,49
2.0	0	48,95	84,99	110,01	125,78	133,99	136,30	134,48	130,41	126,18	124,17
2.5	0	41,06	69,79	88,46	98,99	102,18	102,40	98,51	93,15	88,23	86,02
3.0	0	35,10	58,44	72,60	79,61	81,17	78,79	73,90	68,03	62,91	60,65
3.5	0	30,47	49,74	60,64	65,28	65,30	62,06	56,82	50,92	45,88	43,67
4.0	0	26,79	42,90	51,39	54,42	53,52	49,92	44,72	39,03	34,23	32,12
4.5	0	23,78	37,39	44,07	45,97	44,56	40,90	35,93	30,60	26,11	24,11
5.0	0	21,29	32,87	38,16	39,29	37,60	34,04	29,40	24,48	20,32	18,45
6.0	0	17,38	25,94	29,30	29,49	27,66	24,53	20,62	16,51	12,99	11,38
7.0	0	14,49	20,93	23,08	22,81	21,09	18,43	15,21	11,81	8,84	7,44
8.0	0	12,27	17,19	18,56	18,09	16,54	14,32	11,67	8,85	6,33	5,11
9.0	0	10,53	14,34	15,19	14,62	13,28	11,43	9,23	6,88	4,73	3,65
10.0	0	9,14	12,11	12,62	11,74	10,87	9,32	7,49	5,55	3,65	2,70
15.0	0	5,07	6,01	5,93	5,52	4,94	4,21	3,35	2,38	1,41	0,83
20.0	0	3,19	3,51	3,38	3,13	2,79	2,38	1,89	1,34	0,74	0,36
50.0	0	0,59	0,58	0,55	0,50	0,45	0,38	0,31	0,22	0,11	0,02

TABLO II 1000 m Değerleri

$$\bar{M}_x = M_0 \frac{R H}{E I} \bar{m}$$

$\beta$	X										
0	0.1	0.2	0.3	0.4	0.5	0.6	0.7	0.8	0.9	1.0	
0.5	0	4,44	16,78	35,58	59,45	87,22	117,70	162,83	183,18	216,70	250,53
1.0	0	3,77	14,10	29,63	49,13	71,47	95,68	120,97	146,71	172,51	198,23
1.5	0	3,09	11,45	23,78	38,98	56,06	74,21	92,80	111,39	129,73	147,84
2.0	0	2,56	9,36	19,14	31,05	44,10	57,65	71,22	84,48	97,30	109,78
2.5	0	2,20	7,80	15,79	25,22	35,37	45,68	55,70	65,33	74,39	83,07
3.0	0	1,87	6,63	13,25	20,91	28,99	37,01	44,66	51,76	58,29	64,44
3.5	0	1,70	5,79	11,37	17,71	24,28	30,67	36,62	42,01	46,83	51,27
4.0	0	1,45	5,00	9,77	15,10	20,52	25,71	30,46	34,64	38,29	41,58
4.5	0	1,29	4,42	8,54	13,08	17,62	21,91	25,76	29,09	31,91	35,20
5.0	0	1,16	3,94	7,53	11,43	15,29	18,89	22,07	24,76	26,99	28,90
6.0	0	0,96	3,19	5,98	8,94	11,81	14,43	16,69	18,55	20,01	21,21
7.0	0	0,81	2,63	4,86	7,17	9,73	11,35	13,04	14,39	15,42	16,21
8.0	0	0,70	2,21	4,02	5,87	7,60	9,15	10,45	11,48	12,23	12,79
9.0	0	0,61	1,89	3,78	4,88	6,28	7,52	8,55	9,36	9,94	10,34
10.0	0	0,54	1,63	2,88	4,12	5,27	6,28	7,12	7,77	8,23	8,53
15.0	0	0,32	0,89	1,49	2,06	2,59	3,04	3,42	3,71	3,90	4,00
20.0	0	0,21	0,55	0,89	1,23	1,52	1,78	2,00	2,16	2,26	2,31
50.0	0	0,05	0,11	0,16	0,22	0,26	0,30	0,34	0,37	0,38	0,39

TABLO III v Değerleri

$$v = M_0 \frac{H^2}{E I} \frac{\bar{v}}{1000}$$